

ИНДУЦИРОВАННЫЙ МАГНИТНЫМ ПОЛЕМ ПЕРЕХОД МОТТА  
В СОЕДИНЕНИИ  $Cd_x Hg_{1-x} Te$

А.Б.Алейников, П.И.Баранский, А.В.Жидков

Исследованы зависимости  $\rho_{\perp}(H)$  в ультраквантовом пределе в  $Cd_x Hg_{1-x} Te$  *n*-типа ( $x = 0,13 \div 0,19$ ) при 4,2К. Показано, что магнитное поле обусловливает переход металл – неметалл (переход Мотта). Указано на некоторые особенности этого перехода, специфические для исследуемых кристаллов.

Известные теории<sup>1,2</sup> магнитосопротивления в области магнитных полей, соответствующих ультраквантовому пределу ( $\hbar\omega \gg kT; \hbar\omega > E_F/kT$ ) в одноэлектронном приближении дают  $\rho_{\perp}(H) \sim H^a$ , где  $a \approx \text{const}$  в рамках одного механизма рассеяния. Однако в ус-

ловиях, когда  $R/\lambda \gtrsim 1$ , где  $R$  – дебаевский радиус экранирования,  $\lambda \equiv \sqrt{\hbar c/eH}$  – магнитная длина, одноэлектронное приближение неприменимо<sup>2</sup>. С целью изучения поведения магнитосопротивления в этих условиях нами измерены полевые зависимости  $\rho_{\perp}(H)$  при  $T = 4,2\text{K}$  в монокристаллах  $\text{Cd}_x\text{Hg}_{1-x}\text{Te}$  *n*-типа ( $x = 0,13 \div 0,19$ ), основные параметры которых приведены в таблице.

### Основные параметры исследованных образцов

Nº	$N, \text{см}^{-3}$	$\lambda_K, \text{см}$	$\sigma_{min}^{\text{теор}}, \text{Ом}^{-1} \cdot \text{см}^{-1}$	$\sigma_K, \text{Ом}^{-1} \cdot \text{см}^{-1}$
1	$1,80 \cdot 10^{14}$	$3,25 \cdot 10^{-6}$	0,65	0,58
2	$1,96 \cdot 10^{14}$	$3,12 \cdot 10^{-6}$	0,66	0,59
3	$2,20 \cdot 10^{14}$	$2,97 \cdot 10^{-6}$	0,69	0,59
4	$2,60 \cdot 10^{14}$	$2,70 \cdot 10^{-6}$	0,73	0,60
5	$1,25 \cdot 10^{15}$	$1,59 \cdot 10^{-6}$	1,23	2,60
6	$1,56 \cdot 10^{15}$	$1,54 \cdot 10^{-6}$	1,33	2,17

Известно, что в примесной зоне полупроводников, обладающих металлической проводимостью, магнитное поле, существенно уменьшая размер волновых функций примесных состояний  $a_H$ , при выполнении условия:

$$N^{1/3} a_H = 0,37 \quad (1)$$

должно приводить<sup>3</sup> к переходу Мотта ( $N$  – концентрация электронов).

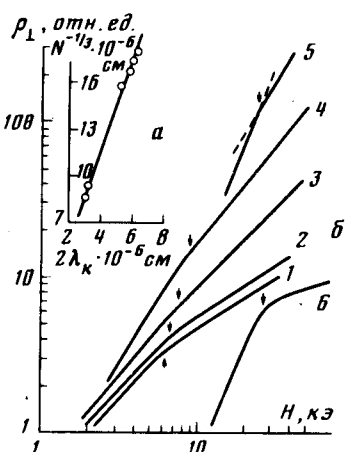
Достаточно большая величина диэлектрической проницаемости  $\kappa \approx 14,1$  и малость отношения  $m^*/m_0 \approx 0,005 \div 0,008$  в исследуемых кристаллах обеспечивают при  $H = 0$  значение  $a_0 \approx 1300 \text{ \AA}$ , при котором в нашем случае примесные атомы могут образовать примесную зону, сливающуюся с дном *c*-зоны, а также привести к появлению дискретных уровней энергии в глубине последней.

Поскольку радиальная часть огибающей волновой функции примесного центра при  $a_0 \gg$  затухает, согласно<sup>4</sup>, как  $\exp[-\rho^2/(2\lambda)^2]$ , то величина  $2\lambda$  в рассматриваемом случае является эффективным радиусом локализации, что гарантирует при определенном значении  $H_K$  выполнение условия (1). В этом случае магнитное поле будет локализовать электроны в плоскости, поперечной к  $H$ , эффективней кулоновского потенциала, а на зависимостях  $\rho_{\perp}(H)$  при значениях  $H = H_K$  (различных для разных  $N$ ) должна проявляться некоторая особенность, что и дает опыт (изломы на кривых  $I \div b$  рисунка). На рис. *a* экспериментально найденные значения  $N^{-1/3} = f(2\lambda_K)$  хорошо укладываются на прямой, проведенной согласно (1) для условий моттовского перехода.

Сравним удельную проводимость образцов в точке перехода с соответствующими значениями "минимальной металлической проводимости"<sup>5</sup>  $\sigma_{min} = Ae^2/\hbar a$ , где  $a = 0,55N^{-1/3}$  – среднее расстояние между электронами,  $A = 0,026 \div 0,1$  – коэффициент, зависящий от координационного числа. Сопоставление экспериментально измеренных значений  $\sigma_K = \rho_K^{-1}$  (см. таблицу) с рассчитанными для  $A = 0,026$ , т. е. для хаотического расположения центров, показывает, что при  $H = H_K$  в пределах точности эксперимента наблюдается действительно "минимальная металлическая проводимость", характерная для условий, при которых реализуется переход Мотта.

Итак, совокупность приведенных выше данных указывает на то, что при  $T = 4,2\text{K}$  в кристаллах  $\text{Cd}_x\text{Hg}_{1-x}\text{Te}$  магнитное поле (в условиях ультраквантового предела) индуцирует переход Мотта за счет локализации электронов, приводящей к отщеплению примесной по-

сы от дна проводимости. Характерной для рассматриваемого случая особенностью моттовского перехода является то, что из-за узости примесной зоны и незначительной величины энергетической щели, отделяющей ее от дна с-зоны ( $\sim 0,3$  мэВ, что в условиях обсуждаемых опытов сравнимо с  $kT$ ), в с-зоне все еще находится значительное количество э-носителей, чем и обуславливается отсутствие резкого изменения характера зависимости  $\rho_{\perp}(H)$  в точке перехода<sup>6</sup>.



*a* – Зависимость параметра  $N^{-1/3}$  от эффективного радиуса локализации магнитным полем  $2\lambda_K$  в точке перехода Мотта. Сплошная прямая – теоретический расчет согласно формуле (1). Точками обозначены экспериментальные данные по имеющимся образцам.

*б* – Полевые зависимости поперечного магниторезистивного эффекта образцов  $Cd_xHg_{1-x}Te$  в ультраквантовом пределе при 4,2К. Номера кривых соответствуют номерам образцов

Особенности на зависимостях  $\rho_{\perp}(H)$ , напоминающие по внешнему виду представленные здесь результаты, обнаружены ранее в вырожденных проводниках (металлах)<sup>7,8</sup> и объяснены авторами этих работ магнитным пробоем<sup>9</sup>. Однако, магнитное поле, при котором достигается магнитный пробой, с понижением концентрации  $N$  может только возрастать. По этому привлечение магнитного пробоя для объяснения обнаруженных нами особенностей  $\rho_{\perp}(H)$  явно входило бы в противоречие с опытными данными, приведенными на рисунке.

Подобные же особенности на кривых  $\rho_{\perp}(H)$  представлены в работах<sup>10,11</sup>, где они были отождествлены с вигнеровской кристаллизацией электронного газа в магнитном поле.

#### Литература

1. Adams E.N., Holstein T.D. J. Phys. Chem. Sol., 1959, **10**, 254.
2. Gerhards R., Hajdu J. Z. Physik, 1971, **245**, 126.
3. Hulten L., Laurikainen K.V. Rev. Mod. Phys., 1951, **23**, 1.
4. Шкловский Б.И., Эфрос А.А. Электронные свойства легированных полупроводников, М.: Наука, 1979.
5. Mott H. Переходы металлы – изолятор, М.: Наука, 1979.
6. Robert G.L. et al. Phil. Mag., 1980, **42**, 1003.
7. Алексеевский Н.Е., Егоров В.С. ЖЭТФ, 1964, **46**, 1205.
8. Falicov L.M., Sievert P.R. Phys. Rev. Lett., 1964, **12**, 558.
9. Киттель Ч. Квантовая теория твердых тел, М.: Наука, 1967.
10. Nimtz G., Schlicht B. Proc. 15<sup>th</sup> Int. Conf. Phys. of Sem., Kyoto, 1980.
11. Nimtz G. et al. Sol. State Comm., 1979, **32**, 669.